

第3章 章动力特性 P32~40

1 作用力确定

基本内容

- 作用力确定
  - 往复惯性力
  - 气体力
  - 离心力
  - 摩擦力
- 作用力分析
- 惯性力平衡
  - 多列
  - 角度式
- 飞轮矩确定

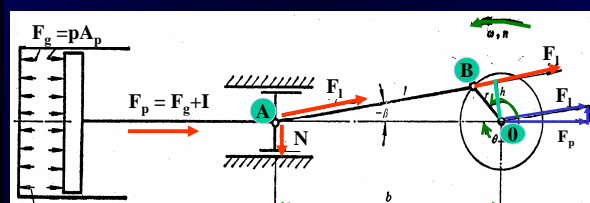


第3章 章动力特性 P32~35

1 作用力确定

作用力分类

- 沿气缸中心线方向
  - 往复惯性力
  - 气体力
  - 往复摩擦力
- 沿曲柄旋转
  - 回转惯性力
  - 曲轴摩擦力



第3章 章动力特性 P32~35

1 作用力确定

惯性力

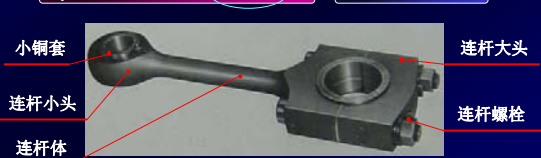
质量转化

- 连杆
  - 质量转化
- 曲轴
  - 质量转化

$m_p = m_p$

$m_p = \text{活塞} + \text{活塞杆} + \text{十字头} + \text{连杆小头}$   $m_p' = (0.3 \sim 0.4) m_p$

$m_p = \text{曲柄销} + \text{部分曲柄} (\text{连杆大头})$   $m_p'' = (0.6 \sim 0.7) m_p$

第3章 章动力特性 P32~35

1 作用力确定

惯性力

质量转化

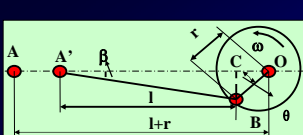
$m_p = m_p' + m_p'' \rho / r + \text{连杆大头 } m_p''$

加速度

位移

$\chi = AA' = AO - A'O = AO - (A'C + CO)$   
 $= (l + r) - (l \cos \beta + r \cos \theta)$

$\Delta A'BO: r / \sin \beta = l / \sin \theta, \lambda = r / l$



第3章 章动力特性 P32~35

1 作用力确定

位移

$\cos \beta = \sqrt{1 - \sin^2 \beta} = \sqrt{1 - \lambda^2 \sin^2 \theta} = 1 - \frac{\lambda^2 \sin^2 \theta}{2} - \frac{\lambda^4 \sin^4 \theta}{8} - \dots$

精确式:  $\chi = r[(1 - \cos \theta) + \frac{1}{\lambda}(1 - \sqrt{1 - \lambda^2 \sin^2 \theta})]$

近似式:  $\chi = r[(1 - \cos \theta) + \frac{\lambda}{4}(1 - \cos 2\theta)]$

$\theta = 90^\circ$

- $\lambda = 1/5$  精:  $x/r = 1.101$  相对误差约 0.0928%
- 近:  $x/r = 1.1$
- $\lambda = 1/4$  精:  $x/r = 1.127$  相对误差约 0.177%
- 近:  $x/r = 1.125$

$\lambda = 1/3.5 \sim 1/6.0$

速度

$v = \frac{d\chi}{dt} = \frac{d\chi}{d\theta} \cdot \frac{d\theta}{dt} = r\omega(\sin \theta + \frac{\lambda}{2} \sin 2\theta)$

第3章 章动力特性 P32~35

1 作用力确定

加速度

$a = \frac{dv}{dt} = r\omega^2(\cos \theta + \lambda \cos 2\theta)$  回转加速度:  $a_r = r\omega^2$

惯性力

$I = -m_s a = -m_s r\omega^2(\cos \theta + \lambda \cos 2\theta)$

$I = m_p r\omega^2 \cos \theta + m_p r\omega^2 \lambda \cos 2\theta$

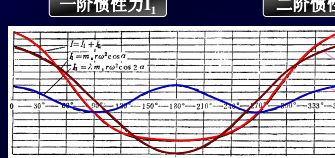
一阶惯性力  $I_1$  二阶惯性力  $I_2$

$I = I_1 + I_2$

$I_1 = m_p r\omega^2 \cos \theta$

$I_2 = m_p r\omega^2 \lambda \cos 2\theta$

连杆或活塞杆受拉“+”  
连杆或活塞杆受压“-”



第3章 章动力特性 1 作用力确定 P32-35

- 气体力  $F_g$  (  $\theta$  或  $s$  )
- 压缩过程
- 曲柄转过  $\theta$ , 活塞位移  $x_i$
- 压缩过程气体力  $F_{gi}$
- 排气过程

$$x_i = r[(1 - \cos \theta_i) + \frac{\lambda}{4}(1 - \cos 2\theta_i)]$$

$$p_i(s_0 + x_i)^n = p_s(s_0 + s)^n; F_{gi} = p_i A_p$$

$$p_i \geq p_d \quad F_{gi} = p_d A_p$$

第3章 章动力特性 1 作用力确定 P32-35

- 气体力  $F_g$  (  $\theta$  或  $s$  )
- 膨胀过程
- 曲柄转过  $\theta$ , 活塞位移  $x_j$
- 气体力  $F_{gj}$
- 进气过程

$$x_j = r[(1 - \cos \theta_j) + \frac{\lambda}{4}(1 - \cos 2\theta_j)]$$

$$p_j(s_0 + x_j)^n = p_d s_0^n; F_{gj} = p_j A_p$$

$$p_j \leq p_s \quad F_{gj} = p_s A_p$$

第3章 章动力特性 1 作用力确定 P32-35

作业

某单级双作用压缩机，气缸直径  $D=320\text{mm}$ ，行程  $s=180\text{mm}$ ，活塞杆直径  $d=50\text{mm}$ ，转速  $n=485\text{rpm}$ ，相对余隙容积  $\alpha=0.16$ ，进气压力  $p_i=0.1267\text{MPa}$ ，排气压力  $p_d=0.386\text{MPa}$ ， $\lambda=1/4$ ，膨胀指数  $m=1.25$ ，压缩指数  $n=1.4$ 。试确定盖侧缸膨胀结束时曲柄转角  $\theta_1$  和轴侧缸压缩结束时曲柄转角  $\theta_2$ 。（不计进排气阻力损失）

第3章 章动力特性 1 作用力确定 P32-35

- 摩擦力  $R$
- 摩擦耗功  $N_m$
- 往复摩擦力  $R_s$
- 回转摩擦力  $R_r$
- 活环(处于气体压力作用下)
- 活环(仅本身弹力)
- 填料
- 十字头滑道
- 十字头销
- 曲柄销
- 主轴销

$$N_m = N_i \left( \frac{1 - \eta_m}{\eta_m} \right)$$

$$R_s = \frac{(0.6 \sim 0.7) N_i \left( \frac{1 - \eta_m}{\eta_m} \right) \times 60}{2 \times s \times n}$$

$$R_r = \frac{(0.4 \sim 0.3) N_i \left( \frac{1 - \eta_m}{\eta_m} \right) \times 60}{s \times n \times \pi}$$

活环(处于气体压力作用下)	38~45%	十字头滑道	6~8%
活环(仅本身弹力)	5~8%	十字头销	4~5%
填料	2~10%	曲柄销	15~20%
		主轴销	13~18%

总活塞力 = 气体力 + 往复惯性力 + 往复摩擦力

第3章 章动力特性 2 作用力分析 P32-35

- 作用力传递
- 连杆力:  $F_l = F_p / \cos \beta$
- 侧向力:  $F_N = F_p \tan \beta$

第3章 章动力特性 2 作用力分析 P32-35

- 作用力传递
- $F_l$  相对 O 点构成阻力矩  $M_y$
- $M_y = F_l h = F_p r \sin(\beta + \theta) / \cos \beta$
- 作用力、力矩平衡

滑道侧向力  $F_N$  由滑道支反力  $-F_N$  平衡

曲轴上阻力矩  $M_y$  由驱动力矩  $M_d$  平衡

主轴承上力  $F_l$  由轴承支反力  $-F_l$  平衡

第3章 章动力特性 2 作用力分析 P32-35

作用力、力矩分析

- 气体力：使气缸、机身及其连接件受拉或受压
- 惯性力：传递到机器外部引起振动
- 侧向力及倾覆力矩：引起机器振动

$$M_N = F_N \cdot b = F_p \cdot r \sin(\beta + \theta) / \cos \beta$$

阻力矩  $M_f$ ：阻止曲轴回转

第3章 章动力特性 3 惯性力平衡 P32-35

- 离心力平衡
- 往复惯性力平衡

→ 单列压缩机

加平衡重平衡掉  $I_1$ ，但遗留垂直分力  $m_r r \omega^2 \sin \theta$ ，改善轴承受力情况

→ 两列立式压缩机

第i列曲柄转角  $\theta_i$  与基准列曲柄转角  $\theta$  关系

$$\theta_i = \theta + \gamma_i - c_i$$

i列与基准列曲柄夹角

i列与基准列气缸中心线夹角

第3章 章动力特性 3 惯性力平衡

→ 两列立式压缩机  $\delta = 180^\circ$

$I_1$	$I_2$	$I_r$	$M_1$	$M_2$
$m'_s r \omega^2 \cos \theta$	$m'_s r \omega^2 \lambda \cos 2\theta$	$m'_r r \omega^2$	$m'_r r \omega^2 b \cos \theta$	$m'_r r \omega^2 \lambda b \cos 2\theta$
$-m''_s r \omega^2 \cos \theta$	$m''_s r \omega^2 \lambda \cos 2\theta$	$m''_r r \omega^2$	$-m''_r r \omega^2 c \cos \theta$	$m''_s r \omega^2 \lambda c \cos 2\theta$

若  $m_s = m'_s = m''_s$ ； $m_r = m'_r = m''_r$ ； $b = c = a/2$ ，则

$$I_{1\text{合}} = (m'_s - m''_s) r \omega^2 \cos \theta \quad I_{2\text{合}} = (m'_s + m''_s) r \omega^2 \lambda \cos 2\theta$$

$$M_{1\text{合}} = (m'_s b + m''_s c) r \omega^2 \cos \theta \quad M_{2\text{合}} = (m'_s b - m''_s c) r \omega^2 \lambda \cos 2\theta$$

$$I_{r\text{合}} = (m'_r - m''_r) r \omega^2 \quad M_{r\text{合}} = (m'_r b + m''_r c) r \omega^2$$

第3章 章动力特性 3 惯性力平衡

→ 两列立式压缩机  $\delta = 90^\circ$

$I_1$	$I_2$	$I_r$	$M_1$	$M_2$
$m'_s r \omega^2 \cos \theta$	$m'_s r \omega^2 \lambda \cos 2\theta$	$m'_r r \omega^2$	$m'_r r \omega^2 b \cos \theta$	$m'_r r \omega^2 \lambda b \cos 2\theta$
$-m''_s r \omega^2 \sin \theta$	$-m''_s r \omega^2 \lambda \cos 2\theta$	$m''_r r \omega^2$	$-m''_r r \omega^2 c \sin \theta$	$m''_s r \omega^2 \lambda c \cos 2\theta$

若  $m_s = m'_s = m''_s$ ； $m_r = m'_r = m''_r$ ； $b = c = a/2$ ，则

$$I_{1\text{合}} = m_s r \omega^2 (\cos \theta - \sin \theta) \quad I_{2\text{合}} = 0$$

$$M_{1\text{合}} = \frac{a}{2} m_s r \omega^2 (\cos \theta + \sin \theta) \quad M_{2\text{合}} = a m_s r \omega^2 \lambda \cos 2\theta$$

$$I_{r\text{合}} = \sqrt{2} m_r r \omega^2 \quad M_{r\text{合}} = \frac{\sqrt{2}}{2} a m_r r \omega^2$$

平衡情况不好

第3章 章动力特性 3 惯性力平衡

→ 对动式压缩机

若  $m_s = m'_s = m''_s$ ； $m_r = m'_r = m''_r$ ； $b = c = a/2$ ，则

$$I_{1\text{合}} = (m'_s - m''_s) r \omega^2 \cos \theta$$

$$I_{2\text{合}} = (m'_s - m''_s) r \omega^2 \lambda \cos 2\theta$$

$$M_{1\text{合}} = (m'_s b + m''_s c) r \omega^2 \cos \theta \quad M_{2\text{合}} = (m'_s b + m''_s c) r \omega^2 \lambda \cos 2\theta$$

$$I_{r\text{合}} = (m'_r - m''_r) r \omega^2 \quad M_{r\text{合}} = (m'_r b + m''_r c) r \omega^2$$

→ 三列对动式压缩机

若  $m_s/2 = m'_s = m''_s$ ； $m_r/2 = m'_r = m''_r$

第3章 章动力特性 3 惯性力平衡

→ 三列对动式压缩机

$$m'_s r \omega^2 (\cos \theta + \lambda \cos 2\theta)$$

$$m''_s r \omega^2 (-\cos \theta + \lambda \cos 2\theta)$$

$$m''_s r \omega^2 (-\cos \theta + \lambda \cos 2\theta)$$

$I_1 = I_2 = I_r = 0$   
 $M_1 = M_2 = M_r = 0$

缺点：总阻力矩变化大

→ 三列压缩机

若  $m_s = m'_s = m''_s$ ； $m_r = m'_r = m''_r$

$$\begin{cases} I_1 = m_s r \omega^2 \cos \theta \\ I_2 = m_s r \omega^2 \lambda \cos 2\theta \\ I_r = m_r r \omega^2 \end{cases}$$

第3章 章动力特性 3 惯性力平衡 P32-35

→ 三列压缩机

$$\begin{cases} I_1 = m_s r \omega^2 \cos(\theta + 120) = m_s r \omega^2 \left(-\frac{1}{2} \cos \theta - \frac{\sqrt{3}}{2} \sin \theta\right) \\ I_2 = m_s r \omega^2 \lambda \cos(2\theta + 240) = m_s r \omega^2 \lambda \left(-\frac{1}{2} \cos 2\theta + \frac{\sqrt{3}}{2} \sin 2\theta\right) \\ I_r = m_r r \omega^2 \end{cases}$$


---


$$\begin{cases} I_1 = m_s r \omega^2 \cos(\theta + 240) = m_s r \omega^2 \left(-\frac{1}{2} \cos \theta + \frac{\sqrt{3}}{2} \sin \theta\right) \\ I_2 = m_s r \omega^2 \lambda \cos(2\theta + 480) = m_s r \omega^2 \lambda \left(-\frac{1}{2} \cos 2\theta - \frac{\sqrt{3}}{2} \sin 2\theta\right) \\ I_r = m_r r \omega^2 \end{cases}$$

$I_{1\text{合}}=0; I_{2\text{合}}=0; I_{r\text{合}}=0$

第3章 章动力特性 3 惯性力平衡 P32-35

→ 三列压缩机

一阶惯性力矩

$$M_1 = m_s r \omega^2 a \cos \theta - m_s r \omega^2 a \left(-\frac{1}{2} \cos \theta + \frac{\sqrt{3}}{2} \sin \theta\right)$$

$$= \frac{3}{2} m_s r \omega^2 a \cos \theta - \frac{\sqrt{3}}{2} m_s r \omega^2 a \sin \theta$$

$$= \sqrt{3} m_s r \omega^2 a \cos(\theta + 30)$$

$330^\circ (M_{\max}), 150^\circ (M_{\min}), 60^\circ, 240^\circ (0)$

二阶惯性力矩

$$M_2 = m_s r \omega^2 \lambda a \cos 2\theta - m_s r \omega^2 \lambda a \left(-\frac{1}{2} \cos 2\theta - \frac{\sqrt{3}}{2} \sin 2\theta\right)$$

$$= \sqrt{3} m_s r \omega^2 \lambda a \left(\frac{\sqrt{3}}{2} \cos 2\theta + \frac{1}{2} \sin 2\theta\right)$$

$$= \sqrt{3} m_s r \omega^2 \lambda a \cos(2\theta - 30)$$

第3章 章动力特性 3 惯性力平衡 P32-35

→ V型压缩机

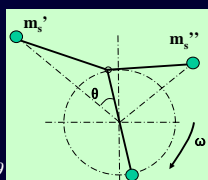
一列

$$I_1 = m_s' r \omega^2 \cos \theta$$

$$I_2 = m_s' r \omega^2 \lambda \cos 2\theta$$

二列

$$I_1 = m_s'' r \omega^2 \cos(\theta - 90) = m_s'' r \omega^2 \sin \theta$$

$$I_2 = m_s'' r \omega^2 \lambda \cos(2\theta - 90) = -m_s'' r \omega^2 \lambda \cos 2\theta$$


一阶合力  $I_1 = \sqrt{(m_s' r \omega^2 \cos \theta)^2 + (m_s'' r \omega^2 \sin \theta)^2} = m_s r \omega^2$

一阶合力方向  $\tan \alpha = \frac{m_s' r \omega^2 \sin \theta}{m_s r \omega^2 \cos \theta} = \tan \theta$

二阶合力  $I_2 = \sqrt{(m_s' r \omega^2 \lambda \cos 2\theta)^2 + (-m_s'' r \omega^2 \lambda \cos 2\theta)^2} = \sqrt{2} m_s r \omega^2 \lambda \cos 2\theta$

第3章 章动力特性 3 惯性力平衡 P32-35

→ V型压缩机

合力方向  $\theta_2 = \tan^{-1} \frac{-m_s r \omega^2 \lambda \cos 2\theta}{m_s r \omega^2 \lambda \cos 2\theta} = \tan^{-1}(-1)$   $\theta_2 = 45^\circ \text{ 或 } 135^\circ$

4L-20/8压缩机: 平衡重  $2 \times 38.1 \text{ kg}$

总往复质量: 1级71.4kg; 2级45kg

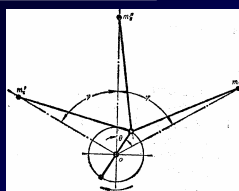
总回转质量: 56.6kg

→ W型压缩机

取中间垂直列为基准列

$$I_{11} = m_s' r \omega^2 \cos(\theta - \gamma) \sin \gamma$$

$$+ m_s'' r \omega^2 \cos \theta \sin 0$$

$$- m_s''' r \omega^2 \cos(\theta + \gamma) \sin \gamma$$


第3章 章动力特性 3 惯性力平衡 P32-35

→ W型压缩机

$$I_{1v} = m_s' r \omega^2 \cos(\theta - \gamma) \cos \gamma + m_s'' r \omega^2 \cos \theta + m_s''' r \omega^2 \cos(\theta + \gamma) \cos \gamma$$

当:  $m_s' = m_s'' = m_s'''$ , 且  $\gamma = 60^\circ$  时

$$I_{1v} = \frac{3}{2} m_s r \omega^2 \sin \theta; I_{1v} = \frac{3}{2} m_s r \omega^2 \cos \theta$$

$$I_{1\text{合}} = \sqrt{I_{1v}^2 + I_{1v}^2} = \frac{3}{2} m_s r \omega^2$$

合力方向  $\tan \alpha = \tan \theta$

当:  $m_s' = m_s''/2 = m_s'''$ , 且  $\gamma = 90^\circ$  时 → 倒T型压缩机

$$I_{11} = (m_s' + m_s''') r \omega^2 \sin \theta$$

$$I_{1v} = m_s'' r \omega^2 \cos \theta$$

$$I_{1\text{合}} = \sqrt{I_{11}^2 + I_{1v}^2} = m_s'' r \omega^2$$

角度式压缩机: 平衡重质量=往复质量+回转质量

第3章 章动力特性 4 飞轮矩确定 P32-35

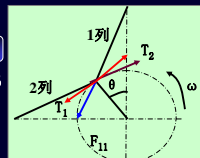
• 切向力与总切向力

曲柄销处连杆力分解成沿曲柄切线方向的分力T

阻力矩  $M_y = T r = F_p r \sin(\beta + \theta) / \cos \beta$

切向力  $T = F_p \cdot \sin(\beta + \theta) / \cos \beta$

总切向力  $T_{\text{tot}} = \sum T_i + T_r$

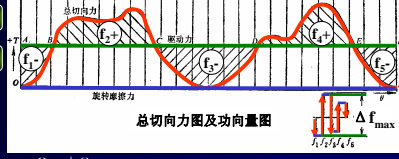


• 绘切向力图

• 确定飞轮矩

旋转不均匀度  $\delta$

$$\delta = \frac{\omega_{\max} - \omega_{\min}}{\omega_m}$$

$$\theta_m = \frac{\theta_{\max} + \theta_{\min}}{2}$$




第3章 动力特性

### 4 飞轮矩确定

P32-35

确定飞轮矩

$M_s - M_d = -J \varepsilon$  J包括:曲轴,联轴节,飞轮。

电机经皮带传动	$\delta \leq 1/30 \sim 1/40$
经弹性联轴节传动	$\delta \leq 1/80$
异步电机刚性连接(150kW以上)	$\delta \leq 1/100$
同步电机刚性连接	$\delta \leq 1/150 \sim 1/200$

一转中飞轮的最大动能变化  $\Delta E = \frac{1}{2} J (\omega_{\max}^2 - \omega_{\min}^2)$

$\Delta E = J \cdot \frac{\omega_{\max} + \omega_{\min}}{2} \cdot (\omega_{\max} - \omega_{\min}) = J \cdot \omega_m^2 \delta$

$J = \frac{\Delta W_{\max}}{\delta \cdot \omega_m^2} = \frac{900 \times \Delta W_{\max}}{\pi^2 \cdot n^2 \cdot \delta}$

$J = MD^2/4; \quad \omega_m = n \pi / 30$

$\Delta W_{\max} = \Delta f_{\max} \cdot m_i \cdot m_T$

第3章 动力特性

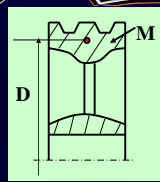
### 4 飞轮矩确定

P32-35

确定飞轮矩

$MD^2 = \frac{3600 \times \Delta W_{\max}}{\pi^2 \cdot n^2 \cdot \delta}$

M: 飞轮轮缘部分质量,约为飞轮质量的90%  
D: 飞轮轮缘截面质心所在圆的直径。



小结

定量计算

概念: 略

惯性力平衡

两列对动式

三列对动式

V型压缩机

W型压缩机

T型压缩机

气体力

压缩过程

膨胀过程

第3章 动力特性

### 思考题

P32-35

- 研究活塞压缩机的动力特性目的是什么? 为什么要把往复惯性力分解成一阶惯性力与二阶惯性力?
- 在对压缩机进行受力分析时, 为什么把气体力、往复摩擦力说成是内力? 而把往复惯性力说成是外力? 它们对压缩机的运转各起到什么影响?
- 侧向力和倾覆力矩在压缩机的运转中有何影响? 和阻力矩的数值相同是否可以抵消? 为什么?
- 曲轴一转中驱动力矩与阻力矩应保持什么关系? 曲轴回转每一瞬时其关系又如何?
- 单列压缩机的往复惯性力如何平衡? 加平衡铁对单列立式及卧式压缩机的作用是否相同?
- 两列立式、对动式、V型压缩机其往复惯性力及往复惯性力矩是如何平衡的? 什么型式的压缩机可用平衡铁平衡一阶往复惯性力? 前提条件是什么?
- 什么是旋转不均匀度? 飞轮在活塞压缩机中起什么作用? 飞轮矩的大小取决于哪些因素?

第4章 主要尺寸确定与气量调节

### 1 转速与主要尺寸确定

P30-32

行程s缸径D<sub>1</sub>比  $\psi = s/D_1$   $\psi = 0.3 \sim 0.6$

$\psi \downarrow, D_1 \uparrow$

优点: 结构紧凑, 刚性好

缺点: 活塞力、相对余隙较大, 零件笨重, 冷却性能差

$\psi \uparrow, s \uparrow$

优点: 活塞力、相对余隙较小, 冷却性能好;

缺点: 体积相对大, 刚性差。

活塞平均速度:  $v_m = sn/60$

活塞环、填料、十字头滑板磨损大;

气阀布置困难(排气量一定, 气缸直径小), 相对余隙大;

转速高, 导致轴径及轴承磨损大。

第4章 主要尺寸确定与气量调节

### 1 转速与主要尺寸确定

活塞平均速度:  $v_m = sn/60$

中大型压缩机(减轻重量): $v_m = 3.5 \sim 4.5 \text{ m/s}$
直流阀压缩机: $v_m = 5 \sim 6 \text{ m/s}$
微型压缩机: $v_m = 1.0 \sim 2.5 \text{ m/s}$
迷宫式压缩机(为减少泄漏): $v_m \geq 4 \text{ m/s}$
聚四氟乙烯密封环压缩机: $v_m \leq 3.5 \text{ m/s}$
超高压压缩机(为保证摩擦件的耐久性): $v_m \leq 2.5 \text{ m/s}$
乙炔气体压缩机(乙炔具有爆炸性): $v_m \approx 1 \text{ m/s}$
摩托压缩机(为适应内燃机): $v_m = 7 \text{ m/s}$

转速n

$Q = V_h \cdot \lambda_d \cdot n = \frac{\pi}{4} \cdot D_1^2 \cdot s \cdot i_1 \cdot z_1 \cdot \lambda_d \cdot n$

$n = 145 \cdot \frac{1}{\psi} \sqrt{\frac{v_m^3 \cdot i_1 \cdot z_1 \cdot \lambda_d}{Q}}$

微型和小型: 3000-1000rpm

中型: 500-1000rpm

大型: 250-500rpm

第4章 主要尺寸确定与气量调节

### 1 转速与主要尺寸确定

转速n

行程  $s = 30 v_m / n$

活塞力大于  $2 \times 10^4 \text{ N}$  时, 应取中国的行程系列值, 并反过来修正  $v_m$  或  $n$ 。

气缸直径 D

单作用气缸直径

$V_h = z_1 \cdot \frac{\pi}{4} D^2 s$   $D = 1.13 \sqrt{\frac{V_h}{z_1 s}}$

气缸数

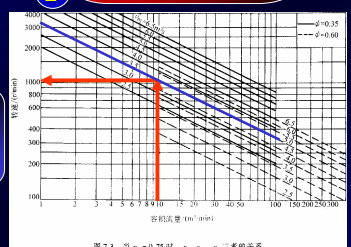


图 4-3 当  $\psi = 0.75$  时,  $v_m$ 、 $n$ 、 $D$  三者的关系

单作用

第4章 主要尺寸确定与气量调节

1 转速与主要尺寸确定

→ 双作用气缸直径

$$V_h = z_s s \frac{\pi}{4} (2D^2 - d^2) \Rightarrow D = 1.13 \sqrt{\frac{V_h}{2z_s s} + \frac{d^2}{2}}$$

双作用

→ 级差式

$$V_h = s \frac{\pi}{4} (2D^2 - D_h^2 - D_m^2)$$

$$D = 1.13 \sqrt{\frac{V_h}{2s} + \frac{D_h^2 + D_m^2}{2}}$$

级差式

第2节 气量调节

1 气量调节原理

原理  $Q_0 = V_{h1} \cdot \lambda_{v1} \cdot \lambda_{p1} \cdot \lambda_{T1} \cdot \lambda_{t1} \cdot n$

$V_h$  不变, 改变  $\lambda$ , 经济性差, 其余系数及转速都可用于流量调节

要求

- 连续调节
- 经济性好
- 操作简单、可靠, 维修方便。

2 气量调节方法

■ 停车调节

- 启动频繁, 增加磨损
- 电网波动大
- 启动设备要求简单
- 微型压缩机

■ 转速调节

- 连续调节
- 比功耗小
- 各级压比不变
- 无专门调节机构
- 内燃机、蒸汽机驱动的压缩机

第2节 气量调节

2 气量调节方法

■ 转速调节

- $n \downarrow$  气阀会延迟打开,  $n \uparrow$  气阀产生振颤
- 运动部件磨损加剧
- 润滑油量不足

■ 进气节流

- 连续调节
- 调节机构简单、可靠
- 比功耗大
- 各级压比、排气温度变

进气节流示功图

第2节 气量调节

2 气量调节方法

■ 切断进气

- 调节机构简单、可靠
- 功率消耗低

压比急剧升高、活塞力突变。排气温度升高, 不适用特殊气体。缸内形成负压, 不宜无油润滑压缩机

动力用空气压缩机

第2节 气量调节

2 气量调节方法

■ 进、排气管连通: 节流通、自由连通

- 调节机构简单、可靠
- 自由连通用于大型压缩机启动
- 排气管路需装止逆阀增加阻力损失
- 节流通示功图不变, 功率消耗大

■ 顶开进气阀

- 功率消耗低、经济
- 降低气阀寿命, 适用转速低。
- 用于多级压缩机时, 各级均须设置压开叉, 调节时, 各级气阀应同时压开。

图 13-6 具有活塞式伺服器的压开叉

第2节 气量调节

2 气量调节方法

■ 顶开进气阀

全部行程顶开进气阀 P-v 图

部分行程顶开进气阀 P-v 图

膜式伺服器优点: 装在气缸外面, 检修方便

第2节 气量调节
2 气量调节方法
P40~44

■ 顶开进气阀

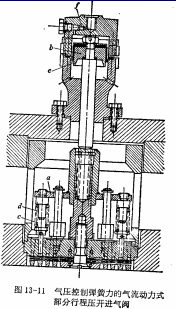


图 13-11 气压控制弹簧力的气流动力式部分行程顶开进气阀

$n=400\sim500\text{rpm}$

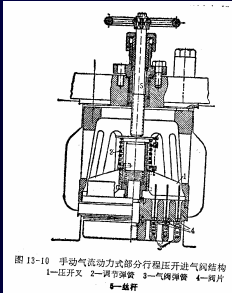


图 13-10 手动气流动力式部分行程顶开进气阀结构

$n=250\sim300\text{rpm}$

第2节 气量调节
2 气量调节方法
P40~44

■ 连通补助容积

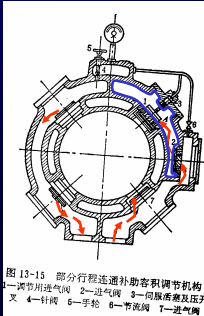


图 13-15 部分行程连通补助容积调节机构

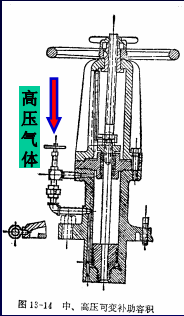


图 13-14 中、高压可变补助容积

第2节 气量调节
2 气量调节方法
P40~44

■ 连通补助容积

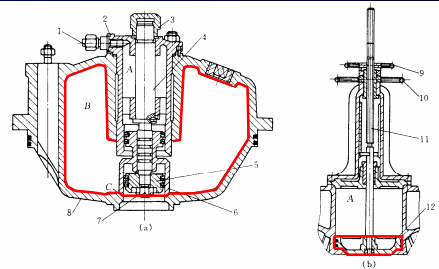


图 2-38 连通补助容积调节结构

(a) 固定补助容积调节结构; (b) 可变补助容积调节结构

1—高压接头; 2—高压腔; 3—螺帽; 4—连接杆; 5—小活塞; 6—阀心; 7—螺母; 8—补助容积; 9—微调手轮; 10—调节手轮; 11—拉杆; 12—活塞

第2节 气量调节
思考题
P40~44

1.为什么要进行压缩机的气量调节? 切断进气的调节原理是什么? 可用于哪些场合? 切断进气后指示图有何变化?  
2.顶开进气阀的调节原理是什么? 可用于哪些场合? 全部行程顶开进气阀及部分行程顶开进气阀后指示图有何变化?  
3.连通补助容积的调节原理是什么? 调节后指示图有何变化?  
4.节流进气调节原理是什么? 调节后指示图有何变化?

第5章 选型
1 选型步骤
P40~44

明确气体的性质
混合气体成分、易燃、易爆、有毒、含有颗粒、易反应。

明确吸气状态
进口压力、温度、密度等。

确定热力性能
排气量、排气压力、排气温度及结构活塞式、隔膜式、转子式或离心式等。

确定压缩机型式
立式、卧式、角度式或其它等。

进行热力计算

选原动机
异步电机、同步电机、内燃机或汽轮机。

工况复算
校核排气温度、排气量、排气压力、功率是否满足。

材料、密封要求
是否耐腐蚀? 密封性能好。

第5章 选型
2 特性比较
P40~44

名称	往复式	回转式	离心式	轴流式
排气压力/MPa	一般0.2~32, 最高700	一般0.2~1, 最高4.5	一般0.2~15, 最高70	一般0.2~0.8
排气量/m <sup>3</sup> /min	0.1~400最小0.01	0.1~500	10~3000	200~10000
调节性能	排气压力稳定	排气压力稳定	随流量变化	随流量变化
绝热效率	较高	一般	一般	较高
结构、零部件	复杂	较简单	简单	简单
可靠性	一般	高	高	高
寿命	一般	较长	长	长
制造要求	一般	大多很高	高	高
安装维修	较复杂	较简单	较简单	较简单
工作腔润滑	有、无	有、无	无	无
气体带液工作适应性	差	强	不可	不可

